

论文

高折射率玻璃微珠色散特性及影响

吕虎¹, 李大海¹, 薄健康¹, 郭东华², 王琼华¹

1. 四川大学 电子信息学院, 成都 610065;
2. 交通运输部公路科学研究院, 北京 100088

摘要:

基于二次彩虹法用三种不同波长(632.8 nm、532 nm、404 nm)的激光测量了玻璃微珠的折射率,并由柯西色散公式拟合得到三种典型高折射率玻璃微珠1.90、1.93和2.2的色散方程,得出现行的玻璃微珠具有正常色散但色散较大的结论.通过分析在不同入射角情况下,色散对玻璃微珠回归反射性能的影响,得出折射率1.90和1.93的玻璃微珠具有优良的回归反射性能.此外,用光线追迹模拟了色散对回归反射后光能量在近轴区域分布的影响,折射率1.90和1.93的玻璃微珠回归反射光线的能量主要集中在5°范围内.

关键词: 玻璃微珠 二次彩虹 色散 回归反射

Dispersion Characteristic and Its Effect of High Refractive Index Glass Beads

LV Hu¹, LI Da-hai¹, BO Jian-kang¹, GUO Dong-hua², WANG Qiong-hua¹

1. School of Electronics and Information Engineering, Sichuan University, Chengdu 610065, China;
2. Research Institute of Highway Ministry of Transport, Beijing 100088, China

Abstract:

Based on the secondary rainbow principle, three kinds of glass beads with typical refractive indices 1.90, 1.93 and 2.2 are measured by semiconductor lasers with three different wavelengths (632.8 nm, 532 nm and 404 nm). Then dispersion functions are determined according to Cauchy function and experimental results, which show that the normal dispersion characteristic belongs to the glass beads but with the large amount. By analyzing whether the dispersion has effect on retroreflective capability with different incident angles from 0° to 90°, it shows that the retroreflective capability of glass beads with refractive index 2.2 is inferior to those of 1.90 and 1.93. Additionally, the energy distribution of retroreflect lights in the paraxial region is simulated by ray tracing method. And the results indicate that the retroreflective energies of glass beads with refractive indices 1.90 and 1.93 are mainly concentrated in the range of 5°.

Keywords: Glass bead Secondary rainbow Dispersion Retroreflection

收稿日期 2011-07-27 修回日期 2011-10-18 网络版发布日期 2012-01-25

DOI: 10.3788/gzxb20124101.0061



基金项目:

2008年质检公益性行业科研专项项目“《道路逆反射玻璃珠测试方法》国际标准研制”(No.200810466)资助

通讯作者: 李大海

作者简介:

参考文献:

- [1] ARCINELLI F, IZZOFENATO R, CUDIERI F. Study of the refractive index of microscopic glass beads by light-refraction analysis[J]. Applied Optics, 1997, 36(34): 8999-9004. 
- [2] YAMAGUCHI T. Refractive index measurement of high refractive index glass beads[J]. Applied Optics, 1975, 14(4): 1111-1115.
- [3] LIU Jing, LI Da-hai. Study on refractive index measurement of high refractive index glass beads by secondary rainbow method[J]. Acta Photonica Sinica, 2007, 36(12): 2307-2310. 刘静,李大海. 二次彩虹法测量高折射率玻璃微珠折射率的研究[J]. 光子学报, 2007, 36(12):2307-2310.
- [4] HUANG Fu-quan, LU Shan-ying, WANG Shao-min. The refractive index measurement of high refractive index glass beads[J]. Acta Photonica Sinica, 2001, 30(6): 753-756. 黄富泉,卢山鹰,王绍民. 高折射率玻璃微珠的测量[J]. 光子学报, 2001, 30(6):753-756.
- [5] VETRANO M P, BEECK J P A J, RIETHMULLER M L. Assessment of refractive index gradients by standard rainbow thermometry[J]. Applied Optics, 2005, 44(34): 7275-7281. 

扩展功能

本文信息

- Supporting info
- PDF(1306KB)
- HTML
- 参考文献

服务与反馈


- 把本文推荐给朋友
- 加入我的书架
- 加入引用管理器
- 引用本文
- Email Alert
- 文章反馈
- 浏览反馈信息

本文关键词相关文章


- 玻璃微珠
- 二次彩虹
- 色散
- 回归反射


本文作者相关文章

- 吕虎
- 李大海
- 薄健康
- 郭东华
- 王琼华


[6] HAN X, REN K F, MEES L et al. Surface waves/geometrical rays interferences: numerical and experiment behavior at rainbow angles[J]. Optics Communication, 2001, 195(1-4): 49-54. 


[7] YANG Hong-kun, LI Da-hai, ZHOU Xin, et al. Study on the refractive index measurement of high refractive index glass beads by secondary rainbow method[J]. Laser Journal, 2006, 27(20): 52-53. 杨宏坤, 李大海, 周昕, 等. 二次彩虹法高折射率玻璃微珠的折射率测量研究[J]. 激光杂志, 2006, 27(20): 52-53.

[8] WANG R T, HUSLT H C. Rainbows: Mie computations and the Airy approximation[J]. Applied Optics, 1991, 30(1): 106-117. 

[9] SMITH W J. Modern optical engineering[M]. 3rd ed. New York: McGraw-Hill, 2000: 175-178. 

[10] ATCHISON D A, SMITH G. Chromatic dispersions of the ocular media of human eyes[J]. J Opt Soc Am A, 2005, 22(21): 29-37.

[11] BALLAATO J, FOULGER S. Optical properties of perfluorocyclobutyl polymers[J]. J Opt Soc Am B, 2003, 20(9): 1838-1843. 

[12] DING Wen-ge, YUAN Jing, LI Wen-bo et al. Thickness and optical constants calculation of hydrogenated amorphous silicon film based on transmission and reflectance spectra[J]. Acta Photonica Sinica, 2011, 40(7): 1096-1020. 丁文革, 苑静, 李文博, 等. 基于反射和透射光谱的氢化非晶硅薄膜厚度及光学常量计算[J]. 光子学报, 2011, 40(7): 1096-1020. 

[13] WANG Bai-lu. Theoretical study of retroreflection of a minim glass bead[J]. Acta Optical Sinica, 1998, 18(6): 693-699. 王柏庐. 微玻璃球回归反光条件的理论分析[J]. 光学学报, 1998, 18(6): 693-699.

[14] CHEN Yan-ming, HE Yu-ming. Study on the key factors deteriorating the retroreflective capability of glass microspheres[J]. Acta Photonica Sinica, 2003, 32(5): 629-632. 陈炎明, 何玉明. 影响玻璃微珠回向反射性能的主要因素分析[J]. 光子学报, 2003, 32(5): 629-632.

本刊中的类似文章

1. 王肇颖;李智勇;王永强;倪文俊;林冉;李世忱.利用普通色散位移光纤得到的超宽带超连续谱[J]. 光子学报, 2004,33(11): 1324-1326
2. 杨广强;张霞;林健飞;宋继恩;黄永清;任晓敏.高双折射光子晶体光纤偏振模色散测量[J]. 光子学报, 2005,34(8): 1133-1136
3. 刘玉敏;俞重远;杨红波;张娜;张晓光.优化二元相位取样光纤布喇格光栅及对色散和色散斜率补偿的应用[J]. 光子学报, 2005,34(11): 1701-1705
4. 袁明辉;张明德;孙小菡.偏振模色散对非线性光纤环镜微波光子开关的影响及其补偿[J]. 光子学报, 2006,35(7): 1008-1012
5. 姚敏 陈林 .基于偏振度椭球的PMD补偿的前馈信息提取方法[J]. 光子学报, 2007,36(4): 710-714
6. 偶晓娟 周渭 郑胜峰 李琳 王凤伟.电子学领域的群速超光速实验[J]. 光子学报, 2007,36(5): 873-876
7. 邵潇杰 杨冬晓 耿丹.基于光子晶体光纤四波混频效应的波长转换研究[J]. 光子学报, 2009,38(3): 652-655
8. 张校逸 陈琦玮 邵钟浩.相敏光放大器对光纤偏振模色散进行补偿的探讨[J]. 光子学报, 2007,36(5): 861-864
9. 刘启能 .一种简便的研究一维光子晶体禁带特征的新方法[J]. 光子学报, 2007,36(6): 1031-1034
10. 何晶 陈林 文双春.40 Gb/s差分相移键控格式抗偏振模色散的性能研究[J]. 光子学报, 2009,38(3): 660-664
11. 陆司琦 宋英雄 林如俭.长距离光纤CATV系统中色散补偿位置的研究[J]. 光子学报, 2009,38(3): 665-669
12. 胡涛平;颜森林;罗青.零色散附近的交叉相位调制不稳定性分析[J]. 光子学报, 2006,35(9): 1367-1373
13. 满文庆.多波长啁啾叠栅的矩阵分析[J]. 光子学报, 2006,35(6): 873-876
14. 陈伟成 徐文成 罗爱平.剩余三色散对相位共轭偏振孤子的影响及其补偿[J]. 光子学报, 2007,36(6): 1061-1064
15. 李大禹 穆全全 胡立发 曹召良 鲁兴海 宣丽.液晶空间光调制器相位调制的色散特性研究[J]. 光子学报, 2007,36(6): 1065-1067

文章评论 (请注意:本站实行文责自负, 请不要发表与学术无关的内容!评论内容不代表本站观点.)

反馈人	<input type="text"/>	邮箱地址	<input type="text"/>
反馈标题	<input type="text"/>	验证码	<input type="text" value="9337"/>
<input type="text"/>			

Copyright 2008 by 光子学报